

ΤΑ ΠΥΡΙΤΙΚΑ ΠΕΤΡΩΜΑΤΑ ΕΝΤΟΣ ΤΩΝ ΚΡΗΤΙΔΙΚΩΝ ΚΟΙΤΑΣΜΑΤΩΝ ΙΖΗΜΑΤΟΓΕΝΩΝ ΝΙΚΕΑΙΟΥΧΩΝ ΣΙΔΗΡΟΜΕΤΑΛΛΕΥΜΑΤΩΝ ΕΥΒΟΙΑΣ ΚΑΙ ΒΟΙΩΤΙΑΣ: ΠΕΤΡΟΓΡΑΦΙΚΑ - ΣΤΡΩΜΑΤΟΓΡΑΦΙΚΑ ΔΕΔΟΜΕΝΑ ΚΑΙ ΜΙΑ ΝΕΑ ΕΡΜΗΝΕΙΑ ΠΡΟΕΛΕΥΣΗΣ*

Ν. ΣΚΑΡΠΕΛΗΣ¹ & Α. ΖΑΜΠΕΤΑΚΗ - ΛΕΚΚΑ¹

ΠΕΡΙΛΗΨΗ

Τα πυριτικά πετρώματα που συναντώνται μέσα στα ιζηματογενή νικελιούχα σιδηρομεταλλεύματα Ευβοίας και Βοιωτίας αποδεικνύεται με βάση πετρογραφικά και στρωματογραφικά δεδομένα ότι ανήκουν σε δύο διαφορετικά είδη. Οριζόντες λατιτοπαγών ή λατύτες διάσπαρτες μέσα στο μετάλλευμα, έχουν προέλθει από θραύσματα πυριτιωμένων υπερβασικών πετρωμάτων (birbrites, silcretes), τα οποία αποτελούσαν τμήματα λατεριτικών φλοιών αποσάθωσης. Στρώματα πυριτιολίθων εντός του μεταλλεύματος περιέχουν απολιθώματα Ανώτερου Κενομανίου - Κατωτάτου Τουρωνίου ηλικίας και αποτελούν βιογενή ιζήματα, με μικρό ποσοστό προσμίξεων κλαστικού υλικού λατεριτικής προέλευσης. Η αλτόθεσή τους πρέπει να έγινε σε περιβάλλον αβαθούς εσωτερικής πλατφόρμας, η οποία στη συνέχεια υπέστη την ανωκρητιδική επίχλυση.

ABSTRACT

Two types of siliceous rocks occur within the sedimentary nickel-iron ore deposits of Euboea and Beotia in Greece: detrital and biogenic cherts. Although previous authors proposed that these rocks were chemical precipitates, field evidences combined with a petrographic and stratigraphic investigation of samples from the ore deposits of Pagondas, Attali, Triada and Mali Ntarda, suggest an alternative mode of origin.

Detrital siliceous rocks occur either as rock fragments dispersed within the nickel-iron ore or as beds of breccia cemented by lateritic material. These siliceous rock fragments are angular to subangular in shape, with low sphaericity, aligned parallel to the bedding plane. They comprise quartz, weathered serpentine, hematite, and minor spinel, chlorite and talc. The study of a big number of fragments under the microscope indicates that relics of weathered serpentine mesh textures, chlorite - talc - hematite aggregates and spinels, have suffered massive replacement by microcrystalline quartz, whereas a part of the latter was recrystallised, possibly during diagenesis (Table 1). Thus these siliceous fragments, by mineralogy and texture, are identical to silicified lateritised ultramafic rocks - known as birbrites, jaspilites or silcretes. Relics of Cretaceous fossil weathering crusts comprising horizons of silicified ultramafic bedrock, crop out in many places in Euboea and Beotia. Landscape denudation processes and the Cenomanian - Turonian sea water transgression resulted to mechanical transport of the siliceous fragments. Due to the high weather-resistant nature of the rock, the fragments were transported from land, deposited under submarine conditions and cemented by pisolithes and fine grained clay- and ferruginous material of lateritic origin.

* THE SILICEOUS ROCKS WITHIN THE CRETACEOUS SEDIMENTARY NICKELIFEROUS IRON-ORES OF EUBOEA AND BEOTIA: PETROGRAPHIC - STRATIGRAPHIC DATA AND A NEW INTERPRETATION

¹ Ψηφιακή Βιβλιοθήκη "Θεόφραστος" - Τμήμα Γεωλογίας, Α.Π.Θ.
Department of Geology, University of Athens, Panepistimioupoli, 157 84 Zografou, Athens, GREECE

Biogenic chert beds were found intercalated within the sedimentary nickel-iron ores of Pagondas deposit, alternating with pisolithic ore (Fig. 1B). Their major mineral constituent is quartz. Hematite, calcite and detritus of spinel and saprolite occur within the chert. Foraminifera, radiolaria and corals occur within the chert beds P3 and P5 of the section. Foraminifera tests are silicified. The benthic foraminifera determined, indicate an inner platform sedimentary environment. *Pseudonummuloculina heimi* (BONET) and *Nezzazata simplex* (OMARA) date the cherts as Upper Cenomanian - Lower Turonian in age. The presence of the planctonic foraminifera species *Praeglobotruncana praehelvetica* indicates that the region was affected by the Upper Cretaceous transgression either during the uppermost Cenomanian or at the Cenomanian / Turonian boundary.

We suggest that these biogenic impure cherts were formed as shallow platform siliceous deposits under the influence of an eroded land, which provided clasts of lateritic origin. Deposition of the siliceous material, and hence of the sedimentary nickel-iron ore, took place during the Cenomanian - Lower Turonian transgression.

KEY WORDS: birbirite, chert, laterite, nickel-iron ore, foraminifera, radiolaria, platform sedimentation, Cenomanian-Turonian transgression, subpelagonian zone, Euboea, Beotia, Greece

1. ΕΙΣΑΓΩΓΗ

Πυριτικά πετρώματα με μορφή γωνιωδών θραυσμάτων ή στρωμάτων εντός των ιζηματογενών νικελιούχων σιδηρομεταλλευμάτων του Ελληνικού χωρού και ιδιαίτερα περιοχών της Ευβοίας και Βοιωτίας, έχουν περιγραφεί από διαφόρους συγγραφείς. Είναι γνωστό ότι η παρονομία των πετρωμάτων αυτών μέσα στα κοιτάσματα επηρεάζει αρνητικά την ποιότητα του μεταλλεύματος, καθιστώντας αναγκαίο τον εμπλουτισμό του με απομάκρυνση των θραυσμάτων τους. Αν και η πλειονότητα ως τώρα των συγγραφέων δεχόταν ότι η απόθεση του μεταλλεύματος και των πυριτιολίθων έγινε με μορφή χρώμιων χημικού ιζήματος (ΑΛΜΙΑΝΤΑΚΗΣ, 1974; AUGUSTITHIS, 1962; ROSENBERG, 1984; VALETON et al., 1987; ΜΠΟΣΚΟΥ et al., 1996) οι παρατηρήσεις υπαίθρου και η μικροσοπική εξέταση σειράς δειγμάτων υποδεικνύουν διαφορετικές συνθήκες σχηματισμού.

Σκοπός της εργασίας αυτής είναι να παρουσιάσει τα αποτελέσματα της πετρογραφικής έρευνας πυριτικών λατυπών και της παλαιοντολογικής και στρωματογραφικής μελέτης δειγμάτων από σπρώματα απολιθωματοφόρων πυριτιολίθων από διάφορα κοιτάσματα της Ευβοίας και της Λοκρίδας. Επιπλέον να καθορίσει την προέλευση των πετρωμάτων αυτών και να προσδιορίσει το περιβάλλον απόθεσής τους μέσα στην κρητιδική θάλασσα.

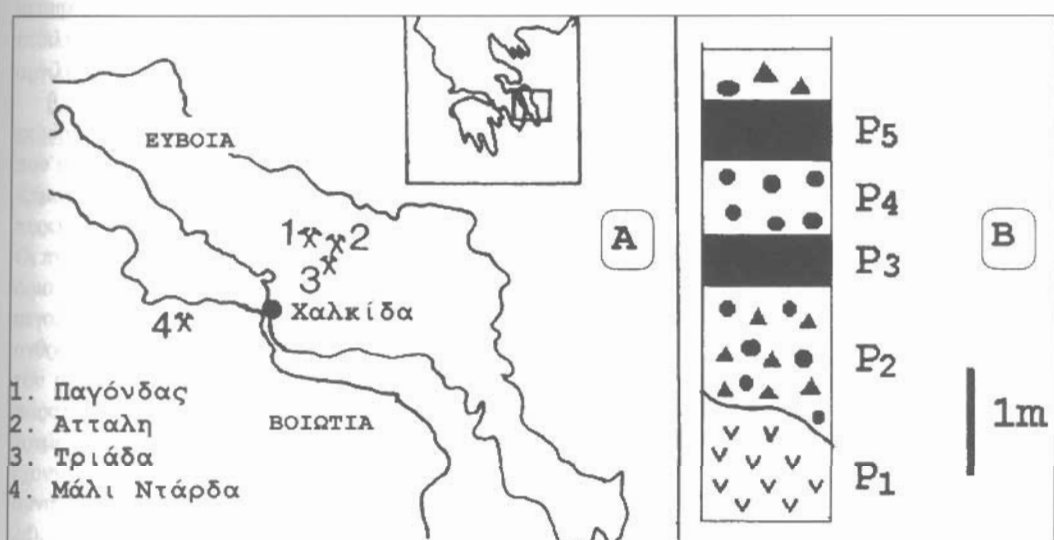
2. ΓΕΩΛΟΓΙΚΗ ΤΟΠΟΘΕΤΗΣΗ - ΠΕΡΙΓΡΑΦΗ

Τα κρητιδικά ιζηματογενή νικελιούχα σιδηρομεταλλεύματα της Ευβοίας και της Λοκρίδας έχουν αποτεθεί σε υποθαλάσσιο περιβάλλον επί υπερβασικών πετρωμάτων ή εντός εγκούλων καρστικής προέλευσης τριαδικο-ιυδασικών ανθρακικών της Υποπελαγονικής. Κοινό χαρακτηριστικό τους είναι ότι έχουν καλυψθεί επικλινισιγένως από ανθρακικά πετρώματα ανω-κρητιδικής ηλικίας. Το ιλικό που σχηματίσει τα κοιτάσματα αυτά προήλθε από τη λατεριτίωση οφιολιθικών κυρίως πετρωμάτων. Κυρίαρχο ιστολογικό χαρακτηριστικό των μεταλλευμάτων είναι ο πισολιθικός ιστός και η παρονομία σε ποικιλόντα βαθμό τεμαχίων πυριτικών πετρωμάτων και σπανιότερα στρωμάτων ή φακών πυριτιολίθων. Εδώ πρέπει να διευκρινιστεί ότι τα οφιαριστεδή σωμάτια είναι κυρίως πελοειδή και σε μικρά ποσά πισοειδή και ωοειδή, καθώς και σύνθετα σωμάτια από τις τρεις αισθολογικές μορφές. Εφ' εξής δε για λόγους απλούστευσης θα αναφέρονται ως πιούλιθοι. Στα πλαίσια της εργασίας αυτής μελετήθηκαν δείγματα πυριτικών λατυπών από τα κοιτάσματα Ζυγού/Ατταλης, Τριάδας, Παγόνδα της Ευβοίας και Μάλι Ντάρδα της Βοιωτίας, καθώς και δείγματα στρωσιγένών πυριτιολίθων από τα κοιτάσματα Παγόνδα και Ζυγού/Ατταλης (Εικ. 1A).

α. Κλαστικής προέλευσης πυριτικά πετρώματα

Πρόκειται είτε: α. για λατυποταγή και σπανιότερα λατυποχροκαλοπαγή, που αποτελούνται από γωνιώδη έως αποστρογγυλεμένα τεφρά έως τεφροχραστανά τεμάχη πυριτικής σύντασης, τα οποία Ψηφιακή Βιβλιοθήκη "Θεόφραστος" - Τμήμα Γεωλογίας. Α.Π.Θ.

συγκολλώνται από φαρμακευτικό υλικό με κόκκους πυριτικούς και θραύσματα πισολίθων ή πισολίθους (π.χ. βάση του κοιτάσματος Ατταλης, βάση του κοιτάσματος Αγ. Ιωάννη στην προέκτασή του στο δρός Μάλι Ντάρδα, εμφανίσεις μεταλλεύματος Πάρνηθας, δυτική προέκταση κοιτάσματος Νέου Κόκκινου) είτε β: για λατύπες καστανέρρευθρους ή τεφροκάστανου χρώματος, που βρίσκονται - με διάφορα ποσοστά συμμετοχής - διάσπαρτες μέσα στο σινιγμής πισολιθικό μετάλλευμα (π.χ. Παγόνδας, Τριάδα). Οι λατύπες έχουν μέγεθος έως 35mm και μικρό βαθμό αποστροφογύλλωσης. Παρατηρείται μία διάταξη τους παράλληλα προς τη στράση των μεταλλεύματος, χωρίς δώμας να υπάρχει ταξινόμησή τους (sorting). Η πετρογραφική εξέταση δειγμάτων των πυριτικών αυτών θραύσμάτων δείχνει ότι προέρχονται από πυριτιωμένα τμήματα λατεριτικών φλοιών αποσάθρωσης υπερβασικών πετρωμάτων, τα οποία στη διεθνή ορολογία φέρονται ως βιρριφίτες ή silcretes. Διαγνωστικό στοιχείο για την προέλευση των λατυπών αυτών είναι τα υπολείμματα λατεριτιωμένου υπερβασικού πετρώματος και η ύπαρξη υπολειμματικών κόκκων σπινελλίων μέσα στην πυριτιωμένη μάζα. Τα υπολείμματα λατεριτιωμένου υπερβασικού εμφανίζονται με μορφή νησίδων από εξαλλοιωμένο σερπετίνη, συσσωματώματα χλωρίτη και τάλκη και διάσπαρτους κόκκους σπινελλίων. Κατά την αντικατάσταση του αρχικού πετρώματος ο χαλαζίας δημιουργήσει μικροκρυσταλλικά συσσωματώματα ή πλέγμα φλεβιδίων. Κατά θέσεις εμφανίζει έντονη ανακυρτάλλωση δημιουργώντας ιστολογικές εικόνες μορφής μωσαϊκού. Λειπότεφρες περιοχές των λατυπών αντιστοιχούν σε έντονα ανακυρτάλλωμένο πυριτικό υλικό. Η μικροσκοπική μελέτη παρισκευασμάτων μεγάλου αριθμού λατυπών, μας επιτρέπει να παρατηρήσουμε όλα τα μεταβατικά στάδια από την αρχή της πυριτώσης έως την πλήρη πυριτώση του λατεριτιωμένου υπερβασικού πετρώματος (Πιν. 1a-d). Στην τελευταία περίπτωση παρατηρούνται ίχνη μόνο των σπινελλίων και η λατύπη μπορεί να εμφανείται ότι προέρχεται από άλλον τύπου πυριτικό πέτρωμα. Επομένως οι λατύπες αντιστοιχούν πετρολογικά σε ανακυρτάλλωμένα τεμάχια πυριτιωμένων υπερβασικών. Οι ιστολογικές εικόνες και η ορυκτολογική σύνταση των κλαστικών αυτών τεμαχών είναι δημοιες με αυτές των πυριτιωμένων τμημάτων λατεριτιωμένων υπερβασικών πετρωμάτων περιοχών της Ευβοίας και Λοκρίδας καθώς και άλλων περιοχών του κόσμου (π.χ. Δυτική και Νότια Αυστραλία, Queensland και New South Wales (STEPHENS, 1971). Morro do Niquel, Niquelandia, Santa Fe Βραζιλίας (TRESCASES et al. 1981), Yubdo Αιθιοπίας (VALETON, 1981), Καστοριά (SKARPELIS, 1997).



Εικ. 1. Χάρτης με τις θέσεις δειγματοληψίας πυριτικών πετρωμάτων (Α) και λιθοστρωματογραφική στήλη του κατόπιν τμήματος του κοιτάσματος Παγόνδα (Β).

Ψηφιακή Βιβλιοθήκη "Θεόφραστος" - Τμήμα Γεωλογίας, Α.Π.Θ.
Fig. 1. Sampling sites of siliceous rocks (A) and lithostratigraphy of the lower part of the Pagondas ore deposit (B)

μεταλλεύματος, έχουν προέλθει από την σχιστοκεφατολιθική διάπλαση. Οι VALETON et al. (1987) υποστηρίζουν ότι οι ενδιαστρώσεις πυριτιολίθων οφείλονται σε πλευρική ως προς τις θέσεις λατεριτίσωσης μετακίνηση και απόθεση πυριτίου και μάλιστα θεωρούν ως πιθανή την απόθεσή τους σε αφαθή λίμνη. Ο SKARPELIS (1996) δέχεται ότι τα σφραγοειδή σωμάτια (πιαστίθιο), που ανενισχύονται ακόμη και εντός των στρωμάτων πυριτιολίθων, σχηματίστηκαν σε ζώνες λατεριτίσωσης, φανόμενο σύνηθες σε ώριμα λατεριτικά κοιτασμάτα και μεταφέρθηκαν και αποτέθηκαν σε υποθαλάσσιο περιβάλλον ως κλαστικοί κόκκοι, μαζί με το λεπτομερές αργιλικό και σιδηρούχο κλάσμα των διαφόρων ζωνών των λατεριτήτων.

Από τα δεδομένα της εργασίας αυτής αποδεικνύεται ότι τα μεν κλαστικά τεμάχια αντιστοιχούν σε πυριτιωμένα λατεριτιωμένα υπερβασικά πετρώματα, ενώ οι στρωσιγνείς πυριτιολίθοι αποτελούν βιογενή ζήματα με μικρή συμμετοχή κλαστικού υλικού λατεριτικής προέλευσης.

α. Τα κλαστικά πυριτικά: Είναι γνωστό ότι η διαδικασία της λατεριτίσωσης υπερβασικών πετρώματων, μπορεί να οδηγήσει σε εκτεταμένη πυριτίωση των μητρικών πετρωμάτων με σχηματισμό συμπαγών "βιοβιοτών" ή "ιασπιλιτών" (GOLIGHTLY, 1981) ή "silcretes" (STEPHENS, 1971; VALETON, 1981). Προχωρημένη αντικατάσταση σερπεντινιτών από SiO₂ με την ορυκτολογική μορφή οπάλου, χαλκηδόνιου ή χαλαζία, μπορεί να προκύψει με απομάκρυνση Mg εν διαλύσει στο νερό και υπολειμματικό εμπλούτισμό SiO₂ με την πρόσθια της λατεριτίσωσης ή με αντικατάσταση σερπεντίνης από πυρίτιο, που αποδειμνύεται από την υπερχείμενη ζώνη οσπρολίτη κατά την αλλοίωση του σερπεντίνη προς σμεκτίτη. Αυτού του είδους η πυριτίωση έχει οδηγήσει στο σχηματισμό εκτεταμένων πυριτικών καλυμμάτων των λατεριτικών κοιτασμάτων ανά τον κόσμο. Με τη διαδικασία της διαγένεσης του μεταλλεύματος τα ορυκτά πυριτίου μετατρέπηκαν σε χαλαζία, που με ανακρυστάλλωση έδωσε τις ιστολογικές εικόνες μορφής μασαίκου που περιγράφηκαν. Ορίζοντες πυριτιωμένων υπερβασικών είναι γνωστοί από τα υπολείμματα των Κρητιδικών λατεριτικών καλυμμάτων, που απαντούν στη Λουρίδα και την Εύβοια (π.χ. Λούτοι, Τσούκα, Παύλου, Καστράκι, Τριάδα, Ψαχνά) (PETRASCHECK, 1954; ROSENBERG, 1984; ΜΠΟΣΚΟΣ et al., 1996; SKARPELIS (αδημ. στοιχεία) ή και την Αττική (ΣΚΟΥΝΑΚΗΣ, 1972). Επομένως τα κλαστικά τεμάχια πυριτιολίθων εντός των ιζηματογενών κοιτασμάτων σιδηρομεταλλεύματος προέρχονται από τα πυριτιωμένα τμήματα των λατεριτικών φλοιών αποσάθρωσης υπερβασικών πετρώματων. Τα τεμάχια αυτά μεταφέρθηκαν από τη χέρσος κατά την καταστροφή των λατεριτικών ορίζοντων - πριν ή κατά την επίκλινη της θάλασσας - και αποτέθηκαν στο θαλάσσιο πιθμένα σε ανάμειξη με κλαστικό υλικό από αργιλικά και σιδηρούχα ορυκτά και πισολίθους.

β. Οι στρωσιγνείς απόλιθωματοφόροι πυριτιολίθοι: ηλικία, συσχέτιση με την ηλικία της επίκλινης και περιβάλλον απόθεσης: Η παρουσία των απολιθωμάτων και ιδιαίτερα των ακτινοζώων, που συχνά σχηματίζουν lumachelles, αποδεικνύει ότι οι πυριτιολίθοι αυτοί είναι θαλάσσια βιογενή ζήματα. Η συμμετοχή του κλαστικού υλικού στη σύστασή τους υποδεικνύει ότι οι βιογενείς πυριτιολίθοι αποτέθηκαν κάτω από την επιφορή μάς χέρουν, που είχε καλυφθεί από λατεριτικό υλικό. Οι πυριτιολίθοι αυτοί ομοιάζουν με πυριτιολίθους περιθωριακών λεκανών, που αποτίθενται μέσα στα δρια επιφορής της χέρουν. Τα ακτινοζώα αποτέλεσαν προφανώς την πηγή του πυριτίου. Το μεγαλύτερο ποσοστό από αυτά φαίνεται ότι καταστράφηκε με διάλυση του σκελετού τους, ενώ τα ανθρακικά απολιθώματα πυριτιώθηκαν. Διαγενετικά φανόμενα προκάλεσαν την ανακρυστάλλωση του αρχικού πυριτικού υλικού και των σχηματισμό πυριτιολίθων. Στα δείγματα που μελετήσαμε, παρατηρείται μία ανάμειξη πανίδων νηρητικής και πελαγικής φάσεως. Αν και τα κελλήφη των τρηματοφόρων - αρχικά ανθρακικά, συμφυματοπαγή, πορσελανώδη ή ναλώδη - έχουν πυριτωθεί, έχουν διατηρήσει την αρχική δομή τους σε πολύ καλή κατάσταση και ο προσδιοιστόμος τους δεν συναντά προβλήματα. Ολα τα βενθονικά τρηματοφόρα (*Nezzazata simplex*, *Cuneolina gr. pavonia* (Πιν. 2d), *Dicyclina schlumbergeri* (Πιν. 2f), *Glomospira* sp. (Πιν. 2e), Ophthalmitidae, Miliolidae, *Pseudonummuloculina heimi*) χαρακτηρίζουν εσωτερική πλατφόρμα. Από ύποψη ηλικίας χαρακτηριστικότερα είναι η *Pseudonummuloculina heimi* (BONET) και η *Nezzazata simplex* (OMARA) (Πιν. 2d). Και τα δύο θεωρούνται χαρακτηριστικά του Κενομανίου - κατωτάτου Τουρφωνίου (:) (SMOUT, 1956; REISS, 1962; RADCLIFFE, 1967; OMARA & CRESCENTI, 1962; OMARA &

STRAUCH, 1965; LUPERTO SINNI 1966, 1976, 1979; DECROUEZ, 1976; ΤΣΑΙΛΑ - ΜΟΝΟΠΩΛΗ, 1977; CROSAZ - GALLETTIN, 1979; FARINACCI & YENIAY, 1986; SRIBAR & PLENICAR, 1990; CAUS & al., 1993). Το πλαγκτονικό τρηματοφόρο *Praeglobotruncana praehelvetica* (TRUJILLO) (Pl. 2b), είναι εύκολα αναγνωρίσιμο από το επιπεδόκυρτο περίγραμμά του και τους ημικυκλικούς θαλάμους, από τους οποίους οι τελευταίοι δεν βρίσκονται στο ίδιο επίπεδο με τους προηγούμενους, αλλά παρουσιάζουν μία μετάπτωση (decalage). Διαφέρει από την *Praeglobotruncana helvetica* (BOLLI), της οποίας θεωρείται πρόγονος, κατά το ότι δεν φέρει τρόπιδα αλλά ένα απλό "σπάσμο" των κελυφών στην περιφέρεια των τελευταίων θαλάμων με συγκέντρωση κομβίων. Χαρακτηριστικό επίσης είναι ένα αναπτυγμένο χείλος, που καλύπτει το ομφαλικό - εξωμφαλικό στοματικό άνοιγμα. Στρωματογραφικά εμφανίζεται λίγο νωρίτερα από την *Praeglobotruncana helvetica*, στο ανώτατο Κενομάνιο και ανέρχεται όπως αυτή ως το μέσο Τουφώνιο (CARON, 1966; LAMOLDA, 1976; ROBASZYNSKI & CARON, 1979; TRONCHETTI, 1981). Και τα δύο είδη χαρακτηρίζουν την ανωκρητιδική επίκλινηση στις πλατφόρμες της Τήθνος (CAUS et al. 1993). Η συνύπαρξη των βενθονικών και πλαγκτονικών πανίδων (κυρίως των ακτινοζών, τα οποία σχηματίζουν ενίστε lumachelles και σπανιότερα της *Globotruncana praehelvetica*), παρατηρείται ακόμη και στο ίδιο δείγμα. Προσεκτική μελέτη στο μικροσκόπιο, έδειξε ότι οι δύο τύποι πανίδων δεν συνυπάρχουν "πλάι - πλάι", όπως συμβαίνει συνήθως στα ιζηματα παλαιογεωγραφικών κλιτύων που συνδέονται αβαθείς πλατφόρμες με βαθύτερες περιοχές ανοικτών λεκανών. Στην περίπτωση άλλωστε αυτή τα βενθονικά τρηματοφόρα θα χαρακτηρίζουν περιβάλλον εξωτερικής πλατφόρμας. Στην παρούσα περίπτωση παρουσιάζεται συνύπαρξη πλαγκτονικών και βενθονικών μορφών στο ίδιο παρασκευασμα, αλλά κατά περιοχές. Οι περιοχές με πλαγκτονικά απολιθώματα φαίνεται να περιβάλλουν τις περιοχές νησητικής φάσεως. Η παρατήρηση αυτή σε συνδυασμό με τη στρωματογραφική εξάπλωση των χαρακτηριστικότερων τρηματοφόρων και του διαφορετικού περιβάλλοντος στο οποίο αποτίθενται, μας οδηγούν να δεχθούμε ότι στην περιοχή είχαμε αρχικά μία απόθεση σε περιβάλλον αβαθούς εσωτερικής πλατφόρμας κατά το ανώτερο Κενομάνιο ή στο όριο Κενομανίου - Τουφώνιου, οπότε η περιοχή υπέστη την ανιωκρητιδική επίκλινηση. Οι πρώτες πλαγκτονικές μορφές αποτίθενται στο μή στερεοποιημένο ακόμη ιζημα σχηματίζοντας ενιαίο στρώμα. Καθώς η θάλασσα βαθαίνει με την προέλαση της επίκλινησης, η πελαγική πανίδα γίνεται αρθρονότερη και οι οριζόντιες κυριαρχούν (οριζόντιας Ρ5).

Η απόθεση του μεταλλεύματος πρέπει να έγινε κατά τη διάρκεια της επίκλινησης της ανωκρητιδικής θάλασσας, όπως αποδεικνύει η σύμπτωση ηλικιών των απολιθωματοφόρων πυριτιολίθων και των αισθετολίθων που καλύπτουν τα κοιτάσματα. Ο STEUBER (1993, 1995) με μιά εκτεταμένη στρωματογραφική μελέτη των υπερκείμενων επικλινισγενών σχηματισμών του Ανω Κρητιδικού στη Βοιωτία έδειξε ότι η κρητιδική θάλασσα κάλυψε επικλινισγενώς την τότε χέρσο σε ορισμένες θέσεις κατά το Απτιο και σε άλλες αργότερα έως και κατά το Τουφώνιο (Απτιο - Κενομάνιο στη Νότια Βοιωτία, Τουφώνιο στην περιοχή Πτώου). Επίσης ο ΑΛΜΠΑΝΤΑΚΗΣ (1974) από τον αμέσως υπερκείμενο του μεταλλεύματος σχηματισμό μαργάρων και κίτρινων λεπτοπλακιώδων αισθετολίθων σε περιοχές της Ειρηνίας και της Βοιωτίας, αναφέρει πανίδα την οποία θεωρεί ως χαρακτηριστική του Κενομανίου. Από τη Βόρειο Αλβανία (Kukes) (NOKA, 1986) και την περιοχή του Kosovo της Γιουγκοσλαβίας (MAKSIMOVIC, Z., pers. comm. to N.S.), είναι γνωστό ότι η επίκλινηση ξεκίνησε από το Απτιο - Αλβιο. Τουφώνιος ηλικία έχει προσδιοριστεί για την επίκλινηση που κάλυψε τα ιζηματογενή νικελιούχα σιδηρομεταλλεύματα της ζώνης Αξιού στην περιοχή Rzapano της FYROM (BOEV & JANKOVIC, 1996). Άρα η λατεριτίωση άρχισε πριν από το Απτιο και συνεχίσθηκε τοπικά ενδεχομένως μέχρι και το Τουφώνιο. Αυτό δεν σημαίνει βέβαια ότι η λατεριτίωση υπερβασικών, βασικών και άλλων πετρωμάτων σε μιά περιοχή διήρκεσε καθ' όλο το διάστημα από το Απτιο έως το Τουφώνιο, αλλά ότι - ανάλογα με τις τοπικές, γεωμορφολογικές συνθήκες - υπήρξε διαφορετική χρονική περίοδος λατεριτίωσης. Η διάρκεια της περιόδου αυτής σε κάθε περιοχή δεν είναι δυνατό να υπολογιστεί με ακρίβεια.

ΕΥΧΑΡΙΣΤΙΕΣ

Την Αναπλ. Καθηγήτρια του Πανεπιστημίου Πατρών Κα Στ. Τσαϊλά-Μονόπωλη ευχαριστούμε για την κριτική ανάγνωση του κειμένου καθώς το συγκεκριμένο θέμα θεωρείται ιδιαίτερα σημαντικό για την ιεραρχία της Βιβλιοθήκης "Θεόφραστος" Τμήμα Περιοδικών Εργασιών της Πανεπιστημίου Πατρών.

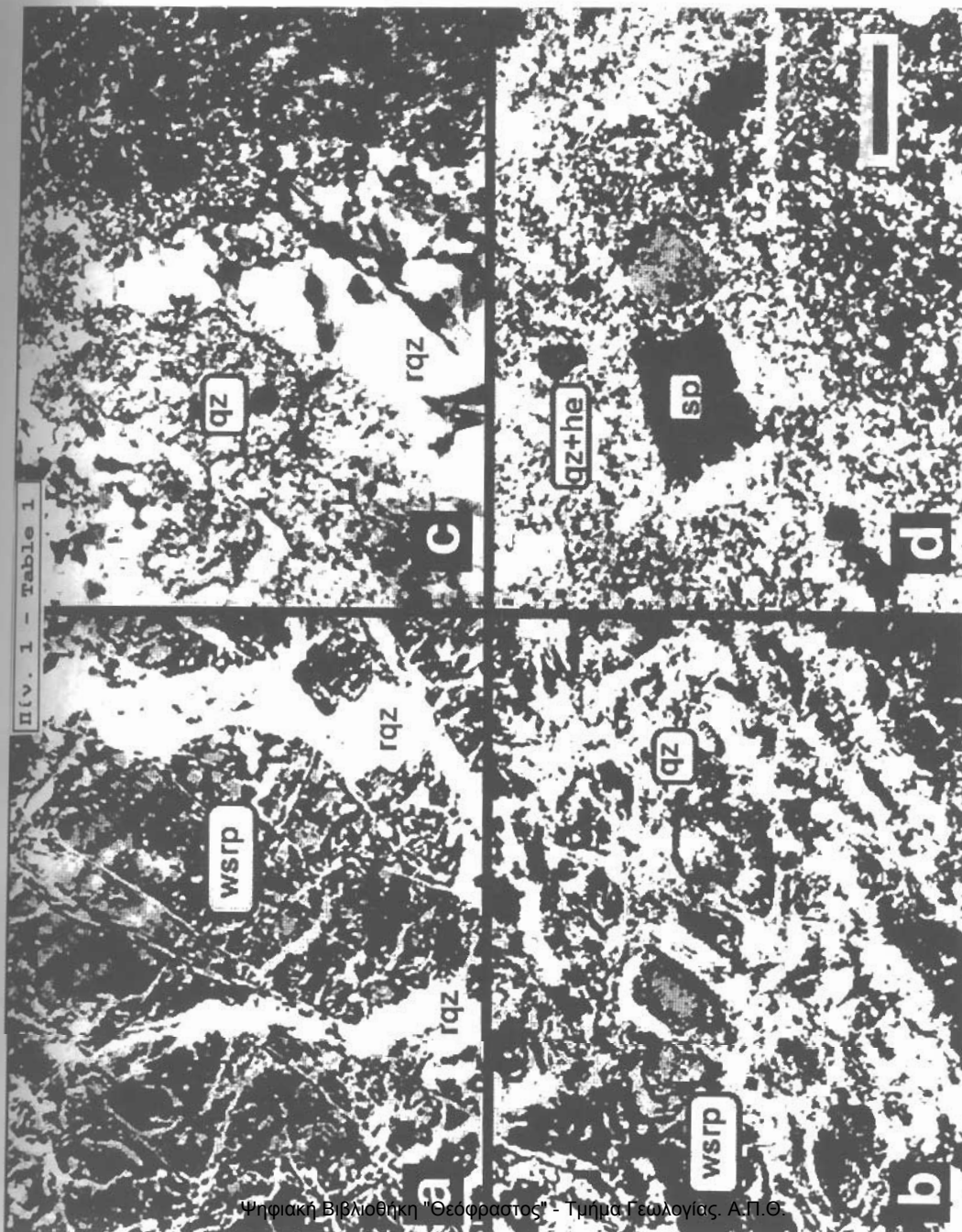
ΒΙΒΛΙΟΓΡΑΦΙΑ

- ΑΛΜΠΑΝΤΑΚΗΣ, Ν. 1974. Τα νικελιούχα σιδηρομεταλλεύματα Λοκρίδος και Ευβοίας. *Met. Met. Xrov.*, **19**, 17-41.
- AUGUSTITHIS, S.S. 1962. Mineralogical and Geochemical changes in the diagenetic and post-diagenetic phases of the Ni-Cr-Iron oolitic deposit of Larymna/Lokris, Greece. *Chem. Erde* **22**, 5-17.
- BOEV, B. & JANKOVIC, S. 1996. Nickel and Nickeliferous iron deposits of the Vardar Zone (SE Europe) with particular reference to the Rzanovo - Studena Voda ore-bearing series. *Univ. Skopje, Geol. Dept., Special Issue no 3*, 267pp.
- CARON, M. 1966. Globotruncanidae du Cretace superieur du synclinal de la Gruyère (Prealpes medianes - Suisse). *Rev. de Micropal.*, **9**, 68-93.
- CAUS, E., GOMEZ-GARRIDO, A., SIMO, A. & SORIANO, K. 1993. Cenomanian - Turonian platform to basin integrated stratigraphy in the South Pyrenees (Spain). *Cretaceous Research*, **14**, 531-551.
- CROSAZ-GALLETTIN, R. 1979. Etude stratigraphique et micropaleontologique du Cenomanien calcaire de la région de Vila Nova de Ourem (Portugal). *Com. dos Serv. Geol. De Portugal*, **65**, 47 - 104.
- DECROUEZ, D. 1976. Etude stratigraphique et micropaleontologique du Cretace d' Argolide (Peloponnese septentrionale, Grece). *These, Universite de Geneve*, 156pp.
- FARINACCI, A. & YENIAY, G. 1986. Biostratigraphy and event analysis of the Cenomanian - Maastrichtian carbonates of the Bey Daglari (Western Taurus, Turkey). *Geol. Romana*, **XXV**, 257-284.
- GOLIGHTLY, J.P. 1981. Nickeliferous Laterite Deposits. *Economic Geology 75th Anniversary Volume*, 710-735.
- ΚΑΤΣΙΚΑΤΣΟΣ, Γ., ΦΥΤΙΚΑΣ, Μ. & ΚΟΥΚΗΣ, Γ. 1969. Τα σιδηρονικελιούχα κοιτάσματα του Βορείου τμήματος της Κεντρικής Ευβοίας (Περιοχή Ατταλης). *ΙΓΕΥ*, Γεωλ. Αναγν., **44**, 144pp, Αθήνα.
- LAMOLDA, M. A. 1976. Considerations sur les Foraminifères planctoniques du turonien inférieur de Arcebiega (Espagne du Nord). *Revue de Micropal.* **19**, 74-80.
- LUPERTO SINNI, E. 1966. Microfauna del Cretaceo delle Murge baresi. *Geol. Romana*, **5**, 117-156.
- LUPERTO SINNI, E. 1976. Microfossili senonianici delle Murge. *Riv. Ital. Paleont.*, **82/2**, 293-416.
- LUPERTO SINNI, E. 1979. I microfossili del "livello a *Palorbitolina lenticularis*" della Murge baresi. *Riv. Ital. Paleont.*, **85/2**, 411-480.
- ΜΠΟΣΚΟΣ, Ε., ΠΕΡΡΑΚΗ, Θ. & ΚΟΛΟΚΟΤΡΩΝΗ, Κ. 1996. Κατανομή του Ni και του Cr στις ορυκτολογικές φάσεις Fe-Ni λατεροτόν της Κεντρικής Ευβοίας. *Ορυκτός Πλούτος* **101**, 9-26.
- NOKA, H. 1986. The microfacial and age data of the carbonaceous rocks of the top of the weathered crust in the nickel-silicate ore deposits of Trull - Surroj and Mamez (Kukes - Albania). *Bulletini i Shkencave Gjeologjile*, **2**, 19-32 (in Albanian with English Abstract).
- OMARA, S. & STRAUCH, F. 1965. The foraminiferal genus *Nezzazata* Omara. *Riv. Ital. Paleont.*, **71/2**, 547-562.
- PETRASCHEK, W. 1954. Die Eisenerz und Nickelagerstatten von Lokris in Ostgriechenland. *Bull. I.G.S.R.*, 135-169, Athens.
- RADOICIC, R. 1973/74. Contribution to the Study of Stratigraphy of the Upper Cretaceous of West Serbia. Micropaleontological Aspect of Upper Cretaceous Sediments of Gredina (Taor - Tresnica Cretaceous Belt). *Vesnik Geologija*, **XXXI/XXXII**, 101-134.
- REISS, Z. 1957. Occurrence of *Nezzazata* in Israel. *Micropa-leontology*, vol.3/3, 259-263.
- ROBASZYNSKI, F. & CARON, M. (Coord. of Groupe de Travail European de Foraminifères planctoniques) 1979. Atlas de Foraminifères de Cretace moyen (Mer Boreale et Tethys). *Cahiers de Micropal.*, 2 vol., 180pp.
- ROSENBERG, F. 1984. Geochemie und Mineralogie lateritischer Nickel- und Eisenerze in Lokris und auf Euboa, Griechenland. *Ψηφιακή Βιβλιοθήκη "Θέσσαραστος"* Ρ. Τμήμα Γεωλογίας. Α.Π.Θ.
- SARTONI, S. & CRESCENTI, U. 1962. Ricerche biostratigrafiche nel Mesozoico dell' Appennino

- meridionale. *Giornale di Geologia*, **XXIX**, 161-302.
- SKARPELIS, N. 1996. Lateritic weathering crusts as a source of ferruginous sphaerooidal particles of sedimentary nickel-iron ores (Greece and Albania). *Beih. Z. Eur. J. Mineral.*, **8**, 1, p. 268.
- SKARPELIS, N. (1997) Eocene nickel laterite deposits in Greece and Albania. In: *Mineral Deposits: Research and Exploration* (Papunen ed.), 503-506, Balkema, Rotterdam.
- ΣΚΟΥΝΑΚΗΣ, Σ. 1972. Τα εκρηκτικά πετρώματα του λεκανοπεδίου Αθηνών και η μετ' αυτών συνδεδεμένη μεταλλογένεσις. *Διδακτορική Διατριβή*, Παν. Αθηνών, 96pp.
- SMOUT, A.H. 1956. Three new Cretaceous genera of foraminifera related to the Ceratobuliminidae. *Micropaleontology*, **2/4**, 335-348.
- SRIBAR, L. & PLENICAR, M. 1990. Upper Cretaceous assemblage zones in southwestern Slovenia. *Geologija*, **33/1**, 171-206.
- STEPHENS, C.G. 1971. Laterite and silcrete in Australia: a study of the genetic relationships of laterite and silcrete and their companion materials, and their collective significance in the formation of the weathered mantle, soils, relief and drainage of the Australian continent. *Geoderma*, **5**, 5-52.
- STEUBER, T. 1995. Die Rudisten aus der Kreide Beotiens. *Habilitationsschrift, Univ. Köln*, 277pp.
- STEUBER, T. 1993. Late Cretaceous palaeogeography and Hippuritid biostratigraphy of Beotia (Greece). *Bull. Geol. Soc. Greece*, **28**, 3, 39-53.
- TRESCASES, J.J., MELFI, A.J. & BARROS DE OLIVEIRA, S.M. 1981. Nickeliferous Laterites of Brazil. In: *Lateritisation processes*, 170-184, Balkema, Rotterdam.
- TRONCHETTI, G. (1981) Les Foraminifères cretacés de Provence (Aptien - Santonien). *These, Université de Provence*, 3 vol, 559pp.
- ΤΣΑΙΔΑ-ΜΟΝΟΠΩΛΗ, Σ. 1977. Μικροπαλαιοντολογική Μελέτη και Στρωμα-τογχαφική διάρροωσις των εν Πελοποννήσῳ σχηματισμών της γεωτεκτονικής ζώνης Τριπόλεως (Γαβρόβου). *I.G.M.E., Γεωλ. & Γεωφ. Μελέται* **XX/1**, 106pp.
- VALETON, I. 1981. Lateritic paleosols with a silcrete layer on the Ultrabasic Massif of Yubdo in Ethiopia. In: *Proc. Intern. Symp. Metall. Mafic and Ultramafic complexes (Augustithis, S.S. ed.)*, **1**, 395-432, Athens.
- VALETON, I., BIERMANN, M., RECHE, R. & ROSENBERG, F. 1987. Genesis of Nickel Laterites and Bauxites in Greece during the Jurassic and Cretaceous, and their relation to Ultrabasic parent rocks. *Ore Geology Reviews*, **2**, 359-404.

Πιν. 1 - Table 1: Διαδοχικά στάδια αντικατάστασης υπερβασικού πετρώματος από πυρίτιο και χαλαζίας αναγνωσταλλομένος σε ανοικτά διαστήματα. a, b και c: πυρίτικες λατόπετες από το κοίτασμα Ατταλης, d: πυρίτική λατόπετη από την εμφάνιση Μάλι Ντάρδα (wsrp: εξαλλοιωμένος σερπεντίνης, qz: χαλαζίας, rqz: συσσωματώματα αναγνωσταλλομένου χαλαζία, sp: σπινέλλιος, he: αιματίτης) (Μήκος κλίμακας: 100μμ)

Successive stages of replacement of ultramafic rock by silica. a, b and c: siliceous fragments from the Attali deposit. d: siliceous fragment from Mali Ntarda (wsrp: weathered serpentine, qz: quartz, rqz: aggregates of recrystallised quartz, sp: spinel, he: hematite) (Scale bar: 100μm)



Πίν. 2 - Table 2

a. *Neazzata simplex* (OMARA) και *Miliolidae*
b. *Praeglobotruncana praehelvetica* (TRUJILLO)
c. *Glomospira* sp.

d. *Cuneolina gr. pavonia* d' ORGIGNY
e. lumachelle από ακτινόζωα
f. *Dicyclina shlumbergeri* MUNIER - CHALMAS
(Μήρος κλίμακας - Scale bar 0.05mm)

Πίν. 2 - Table 2

